

# I-214 塑性ひずみエネルギーを考慮した橋脚の最適設計

東京電機大学 大学院 学生員 中原耕一郎  
 東電設計(株) 正員 松島 學  
 東京電機大学 理工学部 正員 松井 邦人

1. はじめに 大地に建造される構造物にとり、大地震は最大の脅威であろう。特に土木構造物は公共的な性質が強く、万一甚大な被害を被ると社会経済に打撃を与えることはもとより災害復旧にも大きな支障をきたす。大地震に対し、構造物を弾性理論に基づいて設計すると、しばしば断面を過大に評価せざるを得なくなる。これは、大地震が土木構造物の耐用年数中に起こるかどうかが確率的な事象であり、弾性理論に基づく解析が必ずしも合理的な設計とはなり得ないからである。新耐震設計法では塑性率の概念を導入し、塑性変形を考慮した設計となつてあり、そこでは極限状態での最大塑性ひずみで評価している。本研究では、Housner の地震力の全エネルギーの仮説に基づき、地震時の繰り返し荷重による構造物の塑性ひずみエネルギーが構造物の損傷に寄与することに着目し、T型橋脚の最適設計について検討した。

2. 橋脚の最適設計 図1 a. のような橋梁上部構造を有するT型橋脚は、図1 b. のように1質点系モデルを表めることができる。質量 $M_1$ は、橋梁の床組み・質量 $M_2$ は、橋脚上部構造の一部・質量 $M_3$ の和である。ここで橋脚下方部分の質量は無視できるものとする。Cは減衰係数、 $K(y)$ はばねの復元力特性とする。地震におけるこのモデルの運動方程式は、式(1)で表わすことができる。

$$M \ddot{y} + C \dot{y} + K(y) y = -M \ddot{y}_0 \quad (1)$$

$y$ ,  $\dot{y}$ ,  $\ddot{y}$ はそれぞれ応答の変位、速度、加速度である。式(1)に  $dy = \dot{y} dt$  を乗じて地震の継続時間で積分すると、

$$M \int_0^{t_0} \ddot{y} \dot{y} dt + C \int_0^{t_0} \dot{y} \dot{y} dt + \int_0^{t_0} K(y) y \dot{y} dt = -M \int_0^{t_0} \ddot{y}_0 \dot{y} dt \quad (2)$$

となる。式(2)左辺の第1項は運動エネルギー、第2項は減衰機構による減衰エネルギー、第3項はばね系に蓄えられている塑性ひずみエネルギー $E_p$ と地震終了時の弾性ひずみエネルギー $E_e$ である。運動エネルギーと弾性ひずみエネルギーは地震終了後減衰機構により除々に逸散する。図2は荷重と変形の概念図である。図中、 $E_e$

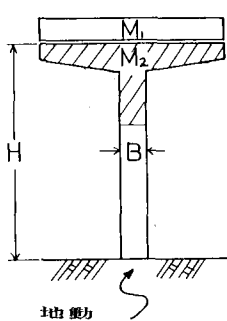


図1 a. T型橋脚の概念図

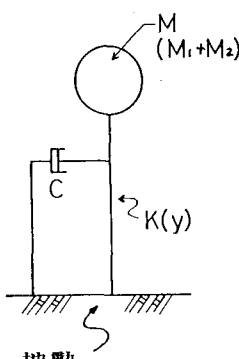


図1 b. 振動モデル

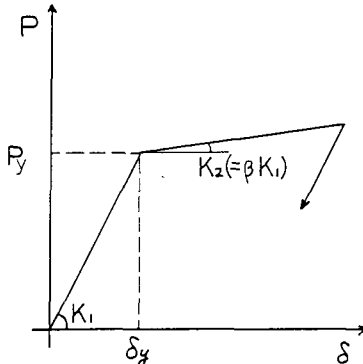


図3. 橋脚の復元力特性

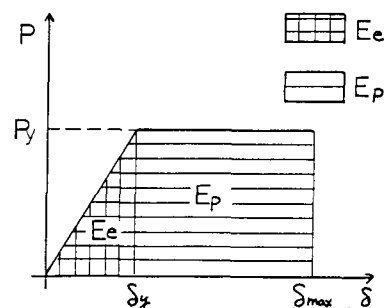


図2. 荷重変位曲線の概念図

$= \frac{1}{2} P_g \delta_y$  ) は弾性ひずみエネルギー、 $E_p$  は塑性ひずみエネルギーである。 $E_p$  は式(2)の第3項から弾性ひずみエネルギーを差し引いた量で、構造物の損傷に寄与する量である。本研究では塑性変形の指標として、累積塑性率 $\eta$  を用いる。

$$\eta = \frac{E_p}{2 E_e} \quad (3)$$

ここで、累積塑性率 $\eta$  は、塑性率 $M (= \delta_{max} / \delta_y)$  が最大塑性変位を基準としている点で異なっている。

3. 計算例 図1b. に示す1箇点のモデルについて行なった。ばねの復元力特性は図3に示すように塑性係数 $K_2$ を弾性係数 $K_1$ のB倍(0.05倍), 全質量 $M = 400(\text{ton})$ , 截面定数 $\mu = 0.03$ とした, パラメータを, 橋脚断面積 $A$ , 全質量と降伏耐力 $P_y$ との比 $\alpha (= P_y/M_g)$ とした。入力地震波は, El centro 1940. N.S. で最大加速度を $0.3 \text{ g}$ とした。結果を $\alpha = 0.1, 0.2, 0.3$ の場合について、固有周期 $T_1$ と累積塑性率 $\eta$ , 最大応答変位 $\delta_{max}$ との関係を図4, 5に示す。図からわかるように固有周期が大きくなるにつれて $\eta$ は小さくなる傾向があり、逆に $\delta_{max}$ は大きくなる傾向がある。さらに、 $\alpha$ との関係を図6a, bに示すと、 $\delta_{max}$ は $\alpha$ による影響をほとんど受けないが、 $\eta$ は $\alpha$ が大きくなるにつれて小さくなる。

4. 最適解と考察 最適な橋脚は、大地震に対するその許容値 $\eta_{cr}$ を越えないように、そして隣接する別の橋脚との関連から橋脚頭部変化が大きくなり過ぎない、という条件のもとで橋脚断面積を最小にすることである。 $\eta_{cr}$ はその値を様々な実験等から求めるべき値であるため、ここではその値を10とした。また、許容最大応答変位 $\delta_{max,cr}$ は $10(\text{cm})$ として橋脚直徑 $B$ と $\alpha$ の制約領域を図7に示した。この図から、最適点は、 $\alpha = 0.2$  および $B = 2.0(\text{m})$ であることがわかる。

謝辞 本研究をまとめるにあたり、奥村敬恵先生の貴重な御助言と御指導をいただいたことに感謝いたします。

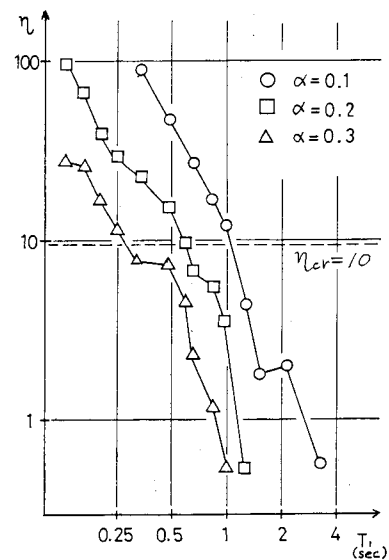


図4. 累積塑性率 $\eta$  の変化

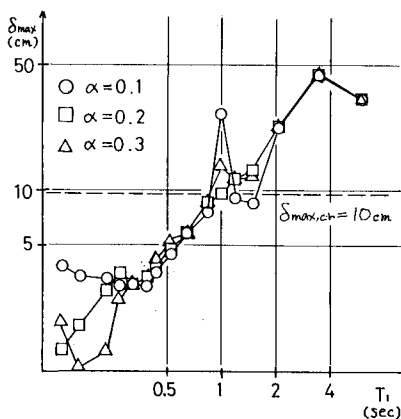


図5. 最大応答変位の変化

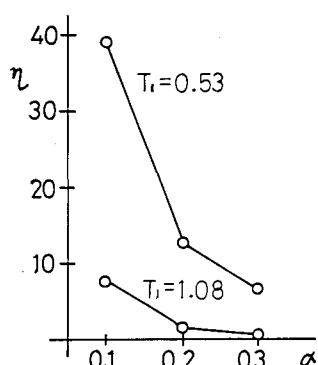


図6a. 累積塑性率 $\eta$  の特性

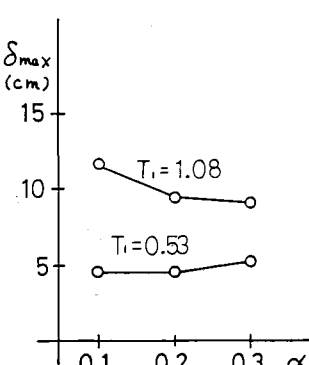


図6b. 最大応答変位 $\delta_{max}$ の特性

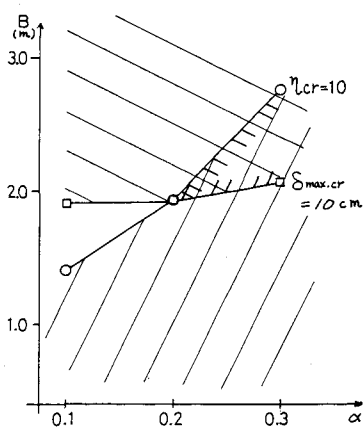


図7. 最適解の領域